

ИССЛЕДОВАНИЕ ЗАЩИЩЕННОСТИ СИСТЕМЫ СВЯЗИ С МНОГОЧАСТОТНЫМИ СИГНАЛАМИ

Введение

При создании производительных ведомственных систем связи (ВСС) одним из основных требований, предъявляемым к таким системам, является обеспечение не только высокой производительности, но и защищенности этих систем [1, 2]. Несмотря на большое количество разработанных протоколов защиты информации на верхних уровнях семиуровневой модели взаимодействия открытых систем *OSI* (*Open System Interconnect*) эффективность данных протоколов значительно снижается при передаче мультимедийной информации [3]. В связи с увеличением объемов мультимедийного трафика в ВСС появилась необходимость искать новые пути повышения защищенности каналов связи не только на информационном, но и на физическом (энергетическом) уровне модели *OSI*, с использованием концепции отводного канала (*Wiretap Channel*) [4, 5].

Учитывая то, что обычно отсутствуют данные о технических средствах нарушителя, а место подключения к легитимному каналу неизвестно, то наиболее эффективным методом анализа защищенности систем связи является моделирование отводного канала и возможных условий перехвата информации. При этом полное моделирование всех процессов преобразования информации от входа до выхода системы позволяет оценить не только параметры энергетической, но структурной защищенности канала связи.

В современных системах связи, как в проводном (*xDSL*), так и беспроводном сегментах (*Wi-Fi*, *WiMAX*) ВСС, широко применяются цифровые системы передачи информации (ЦСПИ), основанные на использовании многочастотных сигналов с дискретной мультиплексной модуляцией *DMT* (*Discreet Multi-Tone Modulation*) и с ортогональным частотным мультиплексированием каналов *OFDM* (*Orthogonal Frequency-Division Multiplexing*). Популярность таких систем связана с высокой скоростью передачи информации, хорошей работой в частотно-селективных каналах связи и эффективным использованием методов быстрого преобразования Фурье *FFT* (*Fast Fourier Transform*) при формировании и приеме многочастотных сигналов [6].

Цель работы – усовершенствование системной модели отводного канала и оценка защищенности системы связи с многочастотными сигналами на физическом уровне модели *OSI*.

Основная часть

Рассмотрим обобщенную структурную схему модели отводного канала для многочастотных сигналов *MCS* (*Multi-Carrier Signal*), которую можно представить в виде N независимых параллельных подканалов (рис. 1). Абонент **A** передает по каналу связи конфиденциальное сообщение X^n (длиной n), используя систему передачи информации с на N несущих частотах $f_1 \dots f_n$, где уровень модуляции *QAM* b_i определяется отношением сигнал/шум SNR_{M_i} для каждой несущей частоты f_i . Абонент **B** принимает информацию Y^n . Передатчик абонента **A** и приемник абонента **B** образуют легитимный канал связи. Нарушитель **E** пытается перехватить информацию Z^n , используя для этого многоканальный приемник-обнаружитель.

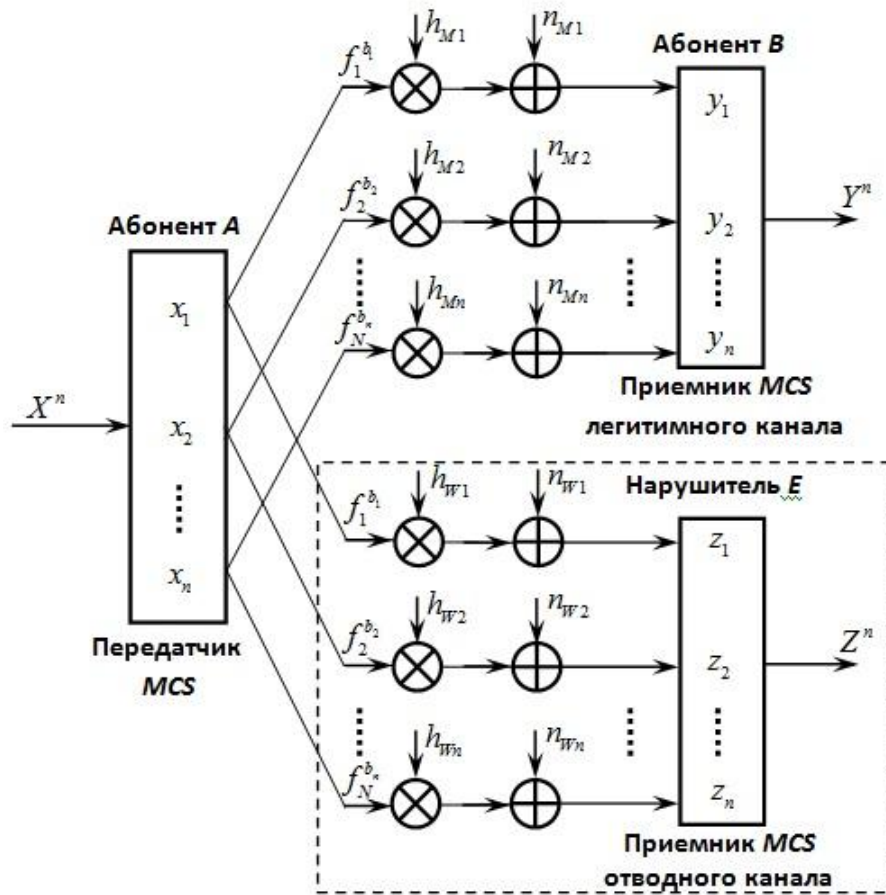


Рис. 1. Обобщенная структурная схема модели отводного канала системы связи с многочастотными сигналами

Для данного случая классическая системная модель отводного канала [7] может быть модифицирована и для каждой i -й несущей частоты в пределах $1 \leq i \leq N$ может быть представлена для принимаемых сигналов y_i абонентом B и z_i нарушителем E в следующем виде:

$$\begin{aligned} y_i &= h_{Mi} \cdot x_i + n_{Mi}, & i=1,2...N; \\ z_i &= h_{Wi} \cdot x_i + n_{Wi}, & i=1,2...N, \end{aligned} \quad (1)$$

где x_i – передаваемый сигнал абонентом A ; h_{Mi}, h_{Wi} – канальные коэффициенты, учитывающие затухание соответственно в легитимном и отводном каналов для каждой i -й несущей частоты легитимного и отводного каналов; n_{Mi}, n_{Wi} – характеристика шума аддитивного белого Гауссовского шума (с распределением σ^2) соответственно на каждой i -й несущей частоте легитимного и отводного каналов; N – максимальное количество несущих частот.

Задача защищенной системы связи обеспечить легальному пользователю возможность восстановления сообщения Y^n с малой вероятностью ошибки (вероятностью битовой ошибки P_b), при передаче этого сообщения по независимым параллельным каналам

$$P_b = \Pr \{ X^n \neq Y^n \} = \prod_{i=1}^N \Pr \{ x_i | y_i \} \leq \varepsilon. \quad (2)$$

В то же время нарушитель при перехвате многочастотного сигнала не может получить сколько-нибудь значительной информации о сообщении X^n :

$$\frac{1}{n} I(X^n \wedge Z^n) \leq \varepsilon. \quad (3)$$

При $\varepsilon = 0$ система связи обеспечивает конфиденциальность передачи информации и защиту информации в канале связи от перехвата. Одним из критериев оценки защищенности системы связи (рис. 1) может служить секретная производительность C_S [8], определяемая как разность максимальных скоростей передачи информации в легитимном C_M и отводном C_W каналах связи:

$$C_S(P^A) = \sum_{i=1}^N \left[\underbrace{\log_2 \left(1 + \frac{\alpha_{Mi} \cdot P_i^A}{\sigma^2} \right)}_{C_M} - \underbrace{\log_2 \left(1 + \frac{\alpha_{Wi} \cdot P_i^A}{\sigma^2} \right)}_{C_W} \right]^+ [\text{бит/с}], \quad (4)$$

где P_i^A – мощность передаваемого сигнала абонентом A для каждой i -й несущей частоты, при условии постоянной средней мощности передатчика $\sum_{i=1}^N P_i^A \leq P$; $\alpha_{Mi} = |h_{Mi}|^2$, $\alpha_{Wi} = |h_{Wi}|^2$ – коэффициенты затухания сигнала в легитимном и отводном каналах для каждой i -й несущей частоты; N – максимальное количество несущих частот; $[a]^+ = \max(0, a)$.

Важной характеристикой защищенности системы связи является также вероятность обнаружения $P_{об}$, которая определяется как

$$P_{об}(R_S) = P(C_S \langle R_S \rangle) \quad (5)$$

где $R_S \rangle 0$ – скорость передачи информации, при которой система связи считается секретной (не обнаруживается).

Тогда с учетом [7] вероятность обнаружения системы связи с многочастотными сигналами можно представить в виде

$$P_{об} = \prod_{i=1}^N \left[1 - \frac{SNR_{Mi}}{SNR_{Mi} + 2^{R_{Si}} SNR_{Wi}} \cdot e^{-\left(\frac{2^{R_{Si}} - 1}{SNR_{Mi}} \right)} \right], \quad (6)$$

где SNR_{Mi} – отношение сигнал/шум на i -й несущей частоте легитимного канала; SNR_{Wi} – отношение сигнал/шум на i -й несущей частоте отводного канала; R_{Si} – секретная скорость передачи информации на i -й несущей частоте.

Учитывая то, что в каналах ВСС передается мультимедийная информация с высокими требованиями к качеству передачи информации, в работе [3] предложено использовать вероятность битовой ошибки $P_b = f(SNR)$ в легитимном и отводном каналах для оценки защищенности системы связи на физическом уровне модели OSI. Сравнительный анализ этих характеристик позволяет оценить уязвимость системы связи от перехвата и позволяет определить степень влияния параметров физического уровня системы связи (мощности передатчика, количество поднесущих частот, вида модуляции, методов обработки сигналов и т.п.) на ее помехозащищенность и скрытность.

Используя предложенную выше обобщенную модель системы связи с отводным каналом, проведем анализ защищенности системы с *DMT* модуляцией, которая широко используется в технологиях *ADSL* и *VDSL*, являющихся основой при построении проводных сегментов защищенных ВСС.

На рис. 2 представлена функциональная схема имитационной модели в среде *MATLAB* системы связи на основе *ADSL* технологий с отводным каналом при непосредственном подключении оборудования нарушителя к каналу связи.

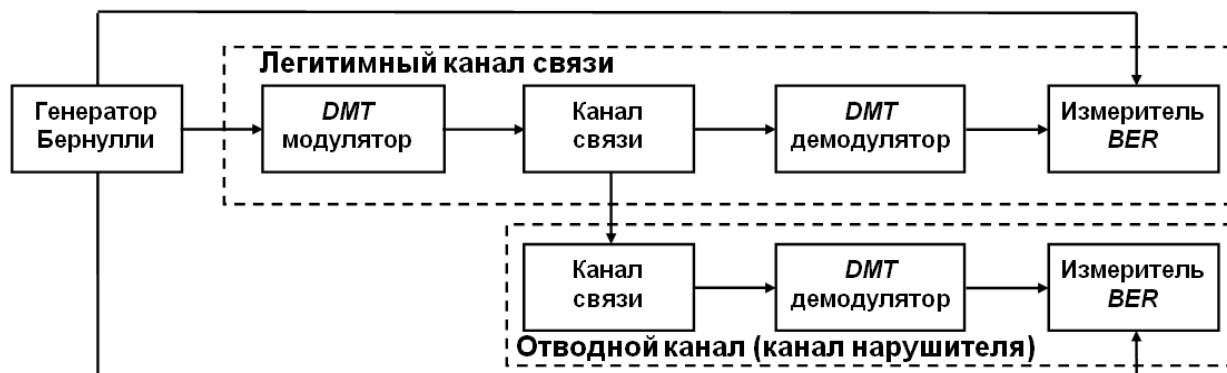


Рис.2. Функциональная схема имитационной модели *ADSL* системы с отводным каналом

Рассмотрим особенности построения некоторых блоков имитационной модели *ADSL* системы с отводным каналом. В технологии *ADSL* для передачи информации используются *QAM* модуляция 256 поднесущих частот, при полосе пропускания канала $1,1\text{ МГц}$. Разность частот между соседними равномерно расположенными в полосе поднесущими частотами составляет $\Delta f = 4,3125\text{ кГц}$.

Генератор Бернулли является генератором двоичных случайных сигналов и задает поток данных на входе модели.

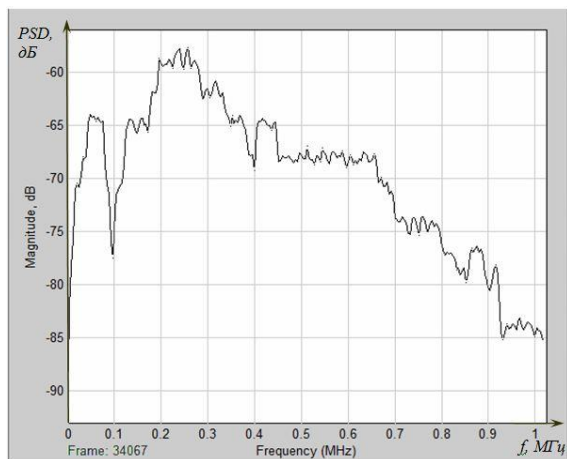
DMT модулятор формирует $N = 256$ поднесущих частот (тонов), каждая из которых имеет свой уровень модуляции *QAM* в зависимости от отношения сигнал/шум SNR_i в канале связи для каждой i -й несущей частоте и частотной характеристики кабельной линии связи (КЛС), которая определяет загрузку b_i . Максимальное количество бит информации b_i , которые могут передаваться в течение одной посылки на i -й поднесущей частоте, связано с отношением сигнал/шум SNR_i на этой частоте и заданной величиной вероятности битовой ошибки P_b на выходе приемника легитимного канала [9]:

$$b_i = \text{floor} \left\{ \log_2 \left(1 + \frac{3SNR_i}{k^2} \right) \right\} \quad (7)$$

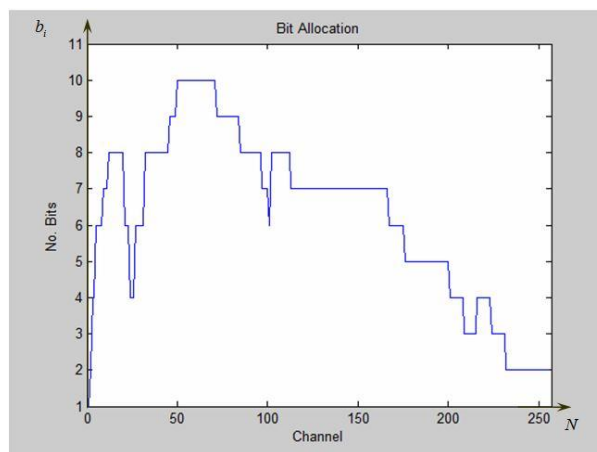
где $b(i)$ – битовая загрузка i -й поднесущей частоты; $\text{floor}\{x\}$ – операция отбрасывания дробной части числа x ; $k = Q^{-1}(P_b/1,7)$ – отношение между самыми близкими точками сигнального созвездия к среднеквадратическому значению белого Гауссовского шума в i -м канале, где $Q^{-1}(x)$ – функция, обратная к интегралу ошибок $Q(x)$, $Q(x) = \int_x^{\infty} \frac{1}{\sqrt{2\pi}} e^{-\frac{y^2}{2}} dy$.

По стандарту технологии *ADSL* [10] нормированная вероятность битовой ошибки в легитимном канале связи составляет $P_b = 10^{-7}$, а значит – $k \approx 5,3$.

На рис. 3, а представлена типовая частотная характеристика КЛС, по которой был определен уровень *QAM модуляции* для каждой i -й поднесущей частоты, а значит и битовая загрузка b_i в легитимном канале связи (рис. 3, б).



а



б

Рис. 3. Частотная характеристика КЛС (а) и битовая загрузка b_i (уровень QAM модуляции) (б) – для 256 частотных каналов

Блок *Канал связи* моделирует характеристики проводного канала передачи. В этом блоке задается мощность сигнала в линии и отношение сигнал/шум SNR в канале связи.

В блоке *DMT демодулятор* выполняется операция демодуляции полученного сигнала.

Оценка качества передачи информации в легитимном канале связи и отводном канале нарушителя производится соответствующими *Измерителями BER*, которые фиксируют ошибки на приеме по отношению к переданной цифровой последовательности.

Упрощенная блок-схема *модулятора* и *демодулятора DMT* на основе модулей обратного ($IFFT$) и прямого (FFT) быстрого преобразования Фурье представлена на рис. 4.

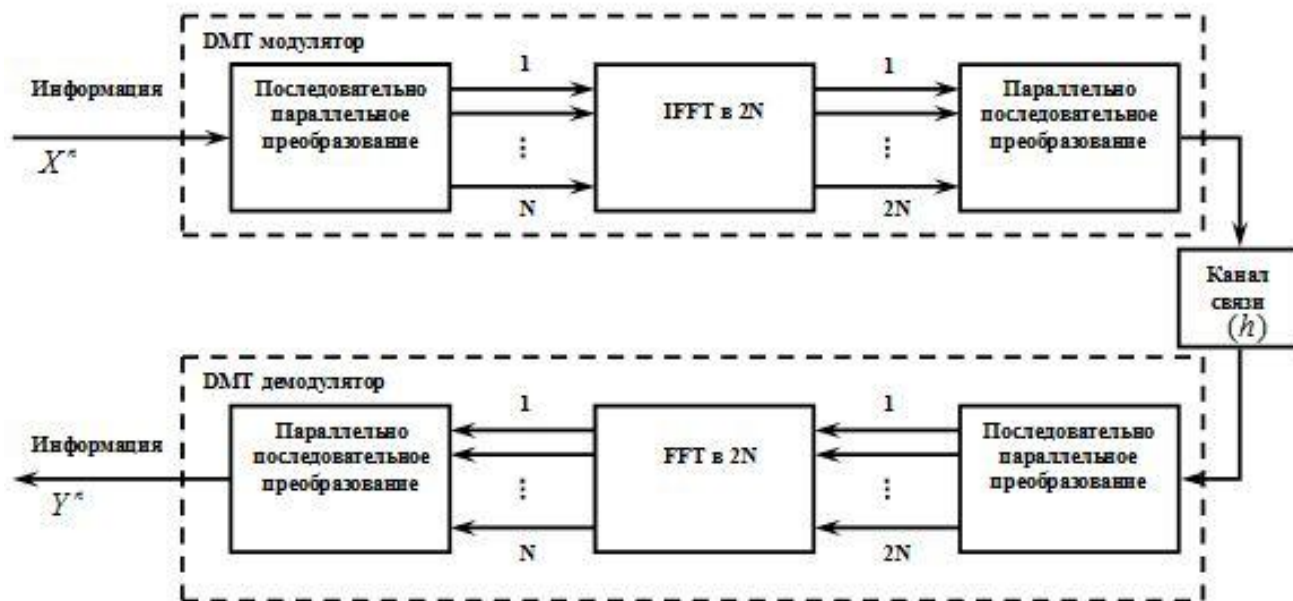


Рис. 4. Блок-схема модулятора и демодулятора DMT сигнала

Модулятор в модели реализован с помощью $IFFT$, который имеет $2N$ выходов. Схема формирования N тонов в DMT модуляторе представлена на рис. 5.

Для реализации QAM модуляции нужно иметь количество тонов $N+1, \dots, 2n-1$, и комплексно сопряженных по уровню модуляции тонов $N-1, \dots, 1$, что может быть выражено следующими условиями:

$$c_k = a_k + jb_k - \text{совокупность модулирующих символов в тонах } k, k=1, 2, \dots, N-1;$$

$$c_{2N-k} = (c_k)^* = a_k - jb_k - \text{совокупность модулирующих символов в тонах};$$

$$N+1, \dots, 2N-1 \quad (8)$$

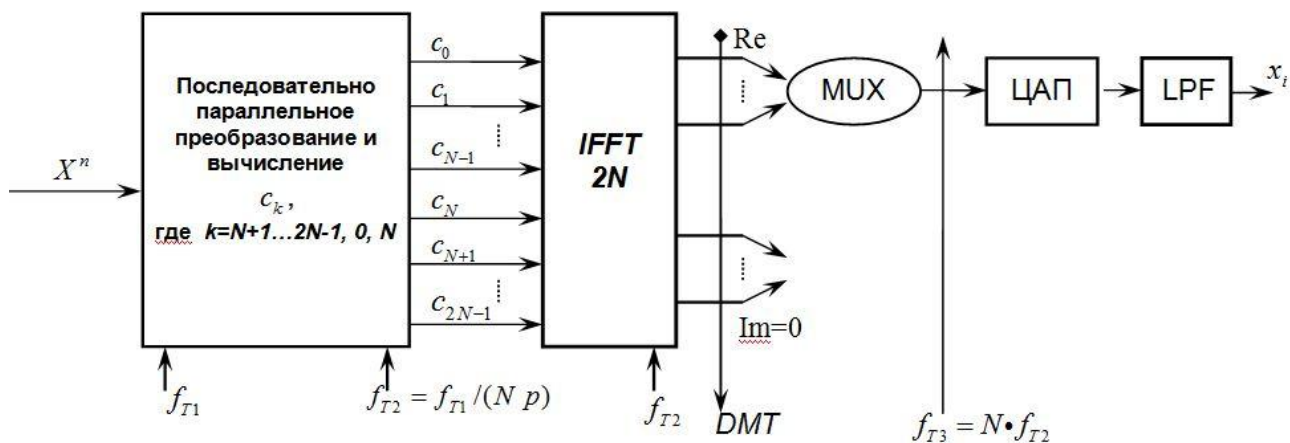


Рис. 5. Схема формирования N тонов в DMT модуляторе

Тоны 0 и N имеют специальный режим. Модуляционный уровень на этих тонах должен быть нулевым $c_0 = c_N = 0$, в добавление к этому в соотношении (8) составляющая мнимой части сигнала на выходе блока $IFFT$ должна быть равна нулю, независимо от вида модуляции данных.

На рис. 5 показаны тактовые частоты, на которых работают отдельные части модели: f_{T1} – символьная тактовая частота; f_{T2} – частота N -го тона, f_{T3} – частота выборки данных, p – коэффициент, который принимает значение от 1 до $N-1$.

DMT сигнал, модулированный как функция k (индекс тона кратный частоте f_{T2}), и n (индекс дискретизации по времени) можно записать в виде [11]:

$$x(n) = \sum_{k=0}^{2N-1} c_k e^{j \frac{2\pi kn}{2N}}, \quad (9)$$

С учетом соотношения (8) и особенности тонов 0 и N , DMT модулированный сигнал можно записать как:

$$\begin{aligned} x(n) &= \sum_{k=0}^{2N-1} (a_k + jb_k) e^{j \frac{2\pi kn}{2N}} = \sum_{k=1}^{N-1} (a_k + jb_k) e^{j \frac{2\pi kn}{2N}} + \sum_{k=N+1}^{2N-1} (a_k + jb_k) e^{j \frac{2\pi kn}{2N}} = \\ &= \sum_{k=1}^{N-1} (a_k + jb_k) e^{j \frac{2\pi kn}{2N}} + \sum_{k'=1}^{N-1} (a_{k'} - jb_{k'}) e^{j \frac{2\pi(2N-k')n}{2N}} = \\ &= \sum_{k=1}^{N-1} a_k (e^{j \frac{2\pi kn}{2N}} + e^{j 2\pi n} + e^{-j \frac{2\pi kn}{2N}}) + j \sum_{k=1}^{N-1} b_k (e^{j \frac{2\pi kn}{2N}} - e^{j 2\pi n} - e^{-j \frac{2\pi kn}{2N}}), \end{aligned} \quad (10)$$

где $k = 2N - k'$, $k' = 1, \dots, N-1 \Rightarrow a_k = a_{k'}$, $b_k = -b_{k'}$.

Так как n является индексом дискретизации по времени, то есть натуральным числом, $\Rightarrow e^{j 2\pi n} = \cos(2\pi n) + j \sin(2\pi n) = 1$. Используя соотношение Эйлера [12] для синуса и косинуса, соотношение (10) примет вид

$$\begin{aligned} x(n) &= \sum_{k=1}^{N-1} a_k (e^{j \frac{2\pi kn}{2N}} + e^{-j \frac{2\pi kn}{2N}}) + j \sum_{k=1}^{N-1} b_k (e^{j \frac{2\pi kn}{2N}} - e^{-j \frac{2\pi kn}{2N}}) = \\ &= \sum_{k=1}^{N-1} 2a_k \cos\left(\frac{2\pi kn}{2N}\right) + j \sum_{k=1}^{N-1} 2jb_k \sin\left(\frac{2\pi kn}{2N}\right) \Rightarrow s(n) = 2 \sum_{k=1}^{N-1} \left[a_k \cos\left(\frac{2\pi kn}{2N}\right) - b_k \sin\left(\frac{2\pi kn}{2N}\right) \right], \end{aligned} \quad (11)$$

Для реализации DMT сигнала после преобразования $IFFT$ реальная часть результата обработки подается через мультиплексор (MUX) и цифроаналоговый преобразователь ($ЦАП$) в линию связи. Для формирования выходного сигнала с нужными параметрами используется выходной фильтр (LPF).

Используя выражение Эйлера, опишем демодуляцию данных на каждом тоне l (l -индексом тона в приемном блоке FFT) в виде

$$c_l = \frac{1}{2N} \sum_{n=0}^{2N-1} \left[\sum_{k=0}^{2N-1} 2 \left(a_k \cos\left(\frac{2\pi kn}{2N}\right) - b_k \sin\left(\frac{2\pi kn}{2N}\right) \right) \right] e^{j\frac{2\pi ln}{2N}} =$$

$$= \frac{1}{2N} \sum_{n=0}^{2N-1} \left[\sum_{k=0}^{2N-1} \left(a_k \left(e^{j\frac{2\pi(k-1)n}{2N}} + e^{-j\frac{2\pi(k+1)n}{2N}} \right) + jb_k \left(e^{j\frac{2\pi(k-1)n}{2N}} - e^{-j\frac{2\pi(k+1)n}{2N}} \right) \right) \right], \quad (12)$$

Демодулированный сигнал в канале c_{l-1} можно представить заменой индекса $k=l$ в выражении (12):

$$c_{l-1} = \frac{1}{2N} \sum_{n=0}^{2N-1} a_l \left(e^{j\frac{2\pi n \cdot 0}{2N}} + e^{-j\frac{2\pi 2ln}{2N}} \right) + jb_l \left(e^{j\frac{2\pi n \cdot 0}{2N}} - e^{-j\frac{2\pi 2ln}{2N}} \right) =$$

$$= \frac{1}{2N} \sum_{n=0}^{2N-1} a_l \left(1 + e^{-j\frac{2\pi 2ln}{2N}} \right) + jb_l \left(1 - e^{-j\frac{2\pi 2ln}{2N}} \right) =$$

$$= \frac{1}{2N} \sum_{n=0}^{2N-1} (a_l + jb_l) + \frac{1}{2N} a_l \sum_{n=0}^{2N-1} e^{-j\frac{2\pi 2ln}{2N}} - j \frac{1}{2N} b_l \sum_{n=0}^{2N-1} e^{-j\frac{2\pi 2ln}{2N}}, \quad (13)$$

Второй и третий элемент выражения (13) больше 0, поскольку две суммы можно рассмотреть как две геометрические прогрессии с первым элементом $a_0 = 1$ и нормировать $r = e^{-j\frac{2\pi 2l}{2N}}$, получим выражение:

$$\sum_{n=0}^{2N-1} \left(e^{-j\frac{4\pi l}{2N}} \right)^n = \frac{e^{-j\frac{4\pi 2lN}{2N}} - 1}{e^{-j\frac{4\pi l}{2N}} - 1} = \frac{1 - 1}{e^{-j\frac{4\pi l}{2N}} - 1} = 0, \quad r = e^{-j\frac{2\pi 2l}{2N}}, \quad (14)$$

После этого выражение (13) можно записать так:

$$c_{l-1} = \frac{1}{2N} [(a_l + jb_l)] 2N = a_l + jb_l, \quad (15)$$

Таким образом, после демодуляции получим точный уровень модуляции, который был передан по каналу l .

Общую модель системы связи с отводным каналом для DMT модуляции, при условии, что нарушитель также использует для приема и обработки многочастотных сигналов блоки FFT , можно представить в следующем виде

$$y_{k,m} = \sum_{n=0}^{2N_c-1} \underbrace{\left(\frac{1}{2N_c} \sum_{k=0}^{2N_c-1} \left(\sum_{\eta=0}^{N_c} h_M(\eta) e^{-\frac{j2\pi k\eta}{N_c}} \right) x_{k,m} e^{\frac{j2\pi kn}{2N_c}} \right)}_{IFFT_M} e^{-\frac{j2\pi kn}{2N_c}} + n_{k,m} - \text{легитимный канал}; \quad (16)$$

$$z_{w,k,m} = \sum_{n'=0}^{2N_c-1} \underbrace{\left(\frac{1}{2N_c} \sum_{k'=0}^{2N_c-1} \left(\sum_{\eta=0}^{N_c} h_W(\eta) e^{-\frac{j2\pi k'\eta}{N_c}} \right) x_{k',m} e^{\frac{j2\pi kn'}{2N_c}} \right)}_{IFFT_M} e^{-\frac{j2\pi kn'}{2N_c}} + n_{k,m} - \text{отводной канал}. \quad (17)$$

Вероятность появления битовой ошибки, в зависимости от отношения сигнал/шум SNR в канале связи, рассчитывается с использованием следующего соотношения:

$$BER = \frac{\sum_{i=1}^N P_{bi}}{M \cdot \sum_{i=1}^N b_i}, \quad (18)$$

где P_{bi} – вероятность битовой ошибки на каждой i -й поднесущей; b_i – битовая нагрузка на каждой i -й поднесущей; N – количество несущих; M – общее количество пакетов данных переданных от генератора Бернулли через модель.

С использованием приведенной выше модели была исследована защищенность системы связи ADSL при изменении параметров физического уровня. Учитывая то, что в многочастотных системах связи точность установки частоты и фазы в легитимном приемнике определяет качество передачи мультимедийной информации, с помощью модели оценивались возможности нарушителя при приеме DMT сигналов.

На рис. 6 приведены зависимости BER от SNR для легитимного и отводного каналов в зависимости от сдвига фаз в демодуляторе нарушителя на 0,1, 0,05, 0,02, 0,01 рад для каждого вида модуляции несущей. Величина BER_0 определяет допустимый уровень ошибок в канале связи при передаче мультимедийной информации.

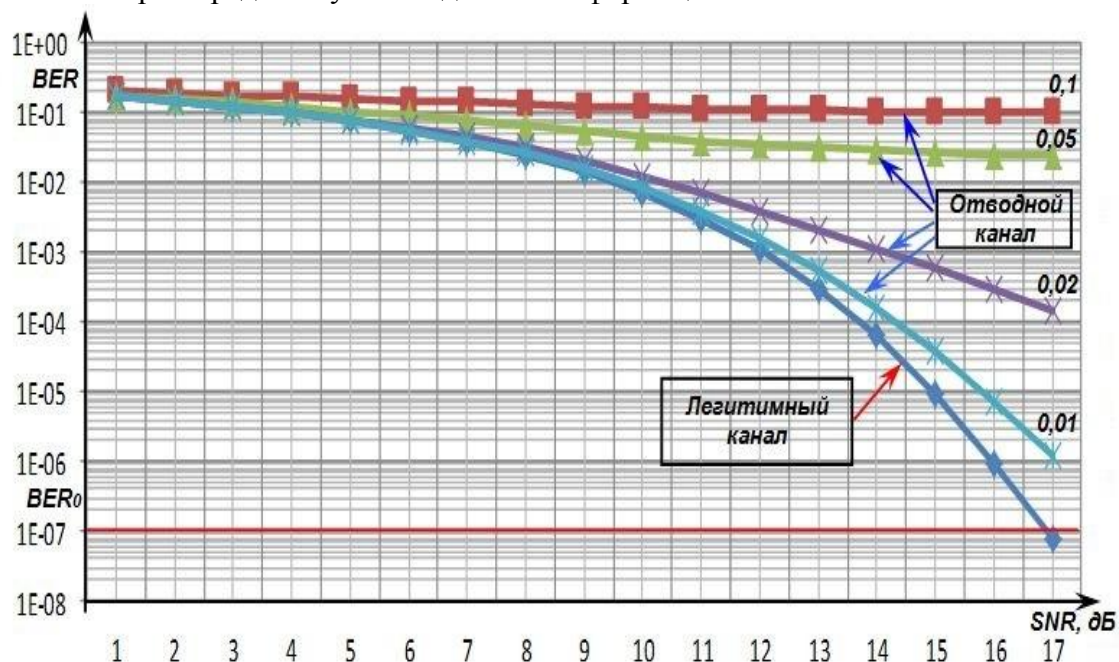


Рис. 6. График зависимости битовой ошибки BER от SNR при разных параметрах настройки DMT демодулятора

По результатам полученных данных видим, что вероятность успешного перехвата информации легитимного канала связи возможна при сдвиге фазы на 0,01 рад. в демодуляторах приемной части канала нарушителя. При увеличении сдвига фаз нарушителю не удастся распознать принятую информацию с требуемым уровнем BER.

Заключение

Представлена обобщенная модель отводного канала для систем связи, использующих многочастотные сигналы. Для оценки защищенности (помехозащищенности и скрытности) системы связи предложены соответствующие критерии.

Детально рассмотрено математическое описание процессов цифровой обработки сигналов и описана модель отводного канала для системы связи с ADSL технологией передачи информации с использованием DMT модуляции.

Получены графики зависимости битовой ошибки *BER* от *SNR* при разных параметрах настройки *DMT* демодулятора, показывающие влияние параметров физического уровня (сдвига фазы в демодуляторе нарушителя) на защищенность системы связи.

Список литературы: 1. *Концепція* технічного захисту інформації в Україні. Постанова Кабінету Міністрів України від 8 жовтня 1997 року № 1126. 2. *Хорошко В.А., Чекатков А.А.* Методы и средства защиты информации. – К. : ЮНИОР, 2003. – 504 с. 3. *Методы* прогнозирования защищенности ведомственных систем связи на основе концепции отводного канала ; под. ред. А.И.Цопы, В.М.Шокало. – Харьков : КП «Городская типография», 2011. – 502 с. 4. *Wyner A.D.* The wire-tap channel // *Bell System Technical Journal*. – 1975. – Vol. 54, № 8. – pp. 1355 -1387. 5. *Цопа А.И.* Разработка и исследование модели отводного канала для проводных цифровых систем передачи информации / А.И.Цопа, В.М. Шокало // *Материалы XIII междунар. науч.-практ. конф. «Безопасность информации в информационно-телекоммуникационных системах»*. – Київ, 2010. – С. 64. 6. *Прокус Д.* Цифровая связь ; пер. с англ. под ред. Д.Д. Кловского. – М. : Радио и связь, 2000. – 800 с. 7. *Barros J., Rodrigues Miguel R. D.* Secrecy Capacity of Wireless Channels // *Proc. of the IEEE International Symposium on Information Theory (ISIT'06)*, Seattle, WA, July 2006. – P.356-360. 8. *Jorswieck E., Wolf A.* Resource allocation for the wire-tap multi-carrier broadcast channel // *Proc. International Workshop on Multiple Access Communications (MACOM)*. – St. Petersburg, Russia, 2008. – P.45–51. 9. *SERIES G: TRANSMISSION SYSTEMS AND MEDIA, DIGITAL SYSTEMS AND NETWORKS.* Digital transmission systems – Digital sections and digital line system – Access networks Asymmetric digital subscriber line (ADSL) transceivers // *ITU-T Recommendation G.991.1. 06/1999*. 10. *Лашко А. Г., Ляховецкий Л. М., Ряду В. В.* Моделирование характеристик цифровых абонентских линий, построенных по ADSL технологии // *Наукові праці ОНАЗ ім. Попова*. – 2005. – №1. – С. 67-74. 11. *Сергиенко А.Б.* Цифровая обработка сигналов : учебник для вузов. 2-е изд. – СПб. : Питер, 2006. – 751 с. 12 *Корн Г., Корн Т.* Справочник по математике (для научных работников и инженеров). – М. : Наука, 1973. – 832 с.

*Харьковский национальный
университет радиоэлектроники*

Поступила в редколлегию 12.02.2013